

УДК 621.373.826

# Энергетические характеристики излучения CO<sub>2</sub>-лазера при фокусировке в турбулентной атмосфере в условиях ветровой рефракции

С.А. Шленов<sup>1</sup>, В.В. Васильцов<sup>2</sup>, В.П. Кандидов<sup>1\*</sup>

<sup>1</sup>Московский государственный университет им. М.В. Ломоносова, физический факультет,  
Международный учебно-научный лазерный центр  
119991, г. Москва, Ленинские горы, 1

<sup>2</sup>Институт проблем лазерных и информационных технологий РАН  
140700, Московская область, г. Шатура, ул. Святозерская, 1

Поступила в редакцию 13.01.2016 г.

Средствами вычислительного эксперимента анализируется динамика во времени максимальной интенсивности и мощности в апертуре конечного размера фокусированного излучения на длине волны 10,6 мкм при тепловом самовоздействии в незамутненной аэрозолем турбулентной атмосфере. Рассмотрено распространение гауссовых пучков на трассах протяженностью до 160 м. Показано, что в условиях сильных флуктуаций показателя преломления наблюдаются интервалы времени, в которые максимальная интенсивность в средней части трассы при острой фокусировке пучка оказывается больше, чем в фокальной плоскости в конце трассы.

**Ключевые слова:** CO<sub>2</sub>-лазер, ИК-излучение, тепловое самовоздействие, ветровая рефракция, турбулентная атмосфера; CO<sub>2</sub> laser, IR radiation, thermal self-action, thermal blooming, turbulent atmosphere.

## Введение

В настоящее время возвращается интерес к проблемам передачи энергии на большие расстояния на атмосферной трассе [1–3]. В значительной степени он связан с прикладными задачами дистанционного нагрева удаленных объектов [4], который можно осуществить, фокусируя на них мощное излучение широкоапертурного лазера. В окнах прозрачности чистой атмосферы без существенной дымки на трассе поглощение и аэрозольное рассеяние излучения невелики, однако турбулентные флуктуации показателя преломления и нелинейные эффекты [5] могут препятствовать эффективной фокусировке излучения на удаленном объекте [6]. Для квазинепрерывного излучения наименьший энергетический порог среди нелинейных эффектов в атмосфере имеет тепловое самовоздействие [7, 8].

Детальная картина теплового самовоздействия и степень его влияния на пучок в общем случае зависят от множества факторов, которые были выявлены еще на ранней стадии исследований в 70-е и 80-е гг. [6, 9]. В условиях неподвижной воздушной среды, например в системах формирования выходного излучения, лазерный пучок, вследствие

теплового самовоздействия, дефокусируется и уширивается [10, 11]. Однако в присутствии даже небольшого ветра происходит конвективный вынос тепла из канала пучка. Возникающая в этом случае ветровая рефракция является наиболее важным механизмом трансформации пространственного распределения излучения: лазерный пучок отклоняется навстречу ветру, одновременно испытывая дефокусировку в поперечном направлении [12]. При этом если смещение центра тяжести излучения может быть относительно легко скомпенсировано простейшей адаптивной системой компенсации наклонов волнового фронта, то компенсация тепловой дефокусировки является гораздо более сложной задачей [13, 14], которая на протяженных трассах осложняется влиянием турбулентных флуктуаций показателя преломления, приводящих к случайным блужданиям и уширению пучка [15].

Турбулентное уширение пучка возрастает с уменьшением длины волны излучения [16, 17] и, начиная с некоторого уровня турбулентных флуктуаций, превалирует над чисто дифракционным ограничением пятна фокусировки, диаметр которого тем меньше, чем меньше длина волны. В результате с ростом турбулентности на атмосферной трассе оптимальная с точки зрения достижения максимальной средней интенсивности в фокальной плоскости длина волны излучения смещается в область среднего ИК-диапазона [18]. В этом диапазоне

\* Святослав Александрович Шленов (shlenov@physics.msu.ru); Виктор Владимирович Васильцов (v.vasiltsov@mail.ru); Валерий Петрович Кандидов (kandidov@physics.msu.ru).

длин волн для создания малых мобильных систем с киловаттным уровнем средней мощности перспективными являются волноводные CO<sub>2</sub>-лазеры [19, 20]. Лазеры этого типа обладают высоким кпд, хорошим качеством излучения в одномодовом режиме генерации и меньшими потерями в атмосфере по сравнению с источниками когерентного излучения более коротких длин волн. Апертура излучения порядка 5 мм позволяет при коэффициенте телескопирования, не превышающем 100, обеспечить острую фокусировку лазерного пучка на больших расстояниях.

В настоящей статье анализируются энергетические характеристики фокусированного квазинепрерывного излучения волноводного CO<sub>2</sub>-лазера на атмосферной трассе при совместном влиянии на гауссов пучок случайных флуктуаций показателя преломления и ветровой рефракции в турбулентной атмосфере. Исследование проведено для излучения и трассы с параметрами, близкими к натурному эксперименту, который осуществляется в ИПЛИТ РАН. Рассмотрен режим одиночного импульса длительностью более 400 мс. Установлено, что в условиях сильных флуктуаций показателя преломления наблюдаются интервалы времени, в которые максимальная интенсивность в средней части трассы при острой фокусировке пучка оказывается больше, чем в фокальной плоскости в конце трассы. В таких условиях оптимальным решением с точки зрения передачи энергии в апертуру конечного размера может оказаться перефокусировка излучения за плоскость наблюдения.

## Модель самовоздействия лазерного излучения в турбулентной атмосфере

Теоретический анализ распространения излучения при ветровой рефракции пучка в турбулентной атмосфере базируется на системе, состоящей из нелинейного уравнения для комплексной амплитуды светового поля  $E$  (в параболическом приближении) и уравнения переноса, описывающего изобарическое приращение температуры среды  $T$ , например [7, 10, 11, 21, 22]:

$$2ik_0 \frac{\partial E}{\partial z} = \Delta_{\perp} E + \frac{2k_0^2}{n_0} \tilde{n} E + \frac{2k_0^2}{n_0} \frac{\partial n}{\partial T} TE + ik_0 \alpha_0 E, \quad (1)$$

$$\frac{\partial T}{\partial t} + \mathbf{v} \nabla_{\perp} T = \frac{\alpha I}{\rho c_p}, \quad (2)$$

где  $z$  — направление распространения пучка;  $\Delta_{\perp}$  — поперечный лапласиан:  $\partial^2 / \partial x^2 + \partial^2 / \partial y^2$ ;  $k_0 = 2\pi/\lambda$  — волновое число,  $\lambda = 10,6$  мкм — длина волны излучения CO<sub>2</sub>-лазера;  $n_0$  — невозмущенное значение показателя преломления;  $t$  — время в сопровождающей системе координат;  $\mathbf{v}$  — скорость ветра;  $I = (cn_0/8\pi)EE^*$ ,  $c$  — скорость света;  $\alpha$ ,  $\alpha_0$  — коэффициенты поглощения и ослабления;  $\rho$ ,  $c_p$  — плотность и теплоемкость воздуха. Второе и третье слагаемые в правой части уравнения (1) включают в себя добавки к показателю преломления, обусловленные оптической турбулентностью ( $\tilde{n}$ ) и нагревом среды вследствие поглощения лазерного излучения в воздухе  $\left( \Delta n_{nl} = \left( \frac{\partial n}{\partial T} T \right) \right)$ . При исследовании влияния стационарной ветровой рефракции будем предполагать, что скорость ветра постоянна  $\mathbf{v} = \text{const}$  и без ограничения общности направлена вдоль оси  $x$ :  $\mathbf{v} = v\mathbf{e}_x$ .

Квазинепрерывное излучение основной моды CO<sub>2</sub>-лазера на выходе лазерной системы ( $z = 0$ ) моделируется сфокусированным гауссовым пучком вида

$$E(x, y, z = 0, t) = E_0 \exp \left\{ -\frac{x^2 + y^2}{2a_0^2} + ik_0 \frac{x^2 + y^2}{2R_f} \right\} \theta(t), \quad (3)$$

где  $a_0$  — радиус пучка по уровню интенсивности  $e^{-1}$  от максимального значения на оптической оси;  $R_f$  — фокусное расстояние;  $\theta(t)$  — функция Хэвисайда. Уравнение распространения (1) решалось численно методом расщепления по физическим факторам в сочетании с алгоритмом быстрого преобразования Фурье для решения уравнения дифракции. Число узлов расчетной сетки в поперечном сечении пучка составляло  $512 \times 512$  с шагом  $\Delta x = \Delta y = 0,7$  мм, шаг в направлении распространения  $\Delta z = 0,5$  м. Для численного решения уравнения (2) использовалась разностная аппроксимация производных с соотношением пространственного  $\Delta x$  и временного  $\Delta t$  шагов:  $\Delta x = v\Delta t$ .

Описание воздействия на лазерный пучок флуктуаций показателя преломления осуществлялось в рамках модели двумерных фазовых экранов. Для их построения использовался модифицированный спектральный метод с добавлением субгармоник [23], что позволяет учесть влияние характерных для атмосферы крупномасштабных флуктуаций, размер которых существенно превышает не только апертуру пучка, но и размер используемой вычислительной сетки. Подробно этот подход описан в [24]. При добавлении субгармоник мы делали четыре итерации сгущения шага сетки в окрестности нулевой частоты, на каждой из которых шаг уменьшался в три раза. Таким образом, максимальный пространственный масштаб воспроизводимых неоднородностей фазы в 81 раз превышал размер экрана и составлял более 60 м. В результате диапазон пространственных масштабов, воспроизводимых фазовым экраном, превышал четыре порядка.

В расчетах использовался модифицированный кармановский спектр пространственных флуктуаций показателя преломления, в явном виде содержащий внешний  $L_0$  и внутренний  $l_0$  масштабы турбулентности [25]. Чтобы учесть снос поля случайных флуктуаций под воздействием поперечного ветрового потока, проводилось построение набора (вдоль оси распространения  $z$ ) прямоугольных эк-

ранов с протяженной буферной областью в наветренной части пучка (вдоль оси  $x$ ) [21, 26, 27].

На рис. 1 показан характерный вид одного из фазовых экранов, использованных при моделировании распространения пучка в турбулентной атмосфере. Сдвиг экрана вдоль поперечного ветрового потока осуществлялся в рамках модели «замороженной» турбулентности [16].



Рис. 1. Пример реализации фазового экрана, описывающего турбулентные флуктуации фазы на участке трассы длиной 10 м в атмосфере. Значения фазы отображаются градациями серого от минимального значения  $-0,73$  (черный) до максимального  $1,35$  (белый). Размер экрана  $75 \times 37,5$  см. Внешний масштаб турбулентности  $L_0 = 1$  м, внутренний  $l_0 = 2$  мм

В настоящей работе рассмотрена ветровая рефракция пучка на приземной трассе длиной  $z = 160$  м в условиях сильной турбулентности с параметрами: внешний масштаб  $L_0 = 1$  м, внутренний  $l_0 = 2$  мм, структурная постоянная  $C_n^2 = 10^{-12} - 10^{-11} \text{ м}^{-2/3}$ . Широкий диапазон пространственных масштабов на расчетной сетке обеспечивал адекватное воспроизведение фазовыми экранами атмосферных флуктуаций.

Характерные черты этого широкополосного пространственного спектра атмосферной турбулентности отчетливо представлены на рис. 1 в виде своеобразной «ватности» изображения случайного набега фазы в поперечном сечении пучка, включающего как общие наклоны фазы и случайные «линзы», вызывающие локальную фокусировку и дефокусировку в пучке, так и мелкомасштабную высокочастотную «рябь». Значение структурной постоянной  $C_n^2 = 10^{-12} \text{ м}^{-2/3}$  соответствует индексу мерцаний [17] на трассе  $\beta_0^2 = 1,26 C_n^2 k_0^{7/6} z^{11/6} = 0,073$ . Это значение хорошо согласуется с относительной дисперсией интенсивности на оси  $\beta_I^2 = 0,084$ , полученной в вычислительном эксперименте в рамках системы (1)–(3) при распространении на трассе

в линейном режиме ( $T = 0$ ) широкого ( $a_0 = 6,25$  см) коллимированного ( $R_f \rightarrow \infty$ ) пучка. Усреднение было проведено по времени в течение 1,13 с при поперечной скорости ветра  $v = 1$  м/с и по трем независимым наборам случайных фазовых экранов (рис. 2). При аномально сильной турбулентности с  $C_n^2 = 10^{-11} \text{ м}^{-2/3}$  параметр  $\beta_0^2 = 0,73$  на трассе длиной 160 м. Это значение совпадает с  $\beta_0^2$  для более

протяженной трассы  $z = 562$  м с прежним значением  $C_n^2 = 10^{-12} \text{ м}^{-2/3}$ .

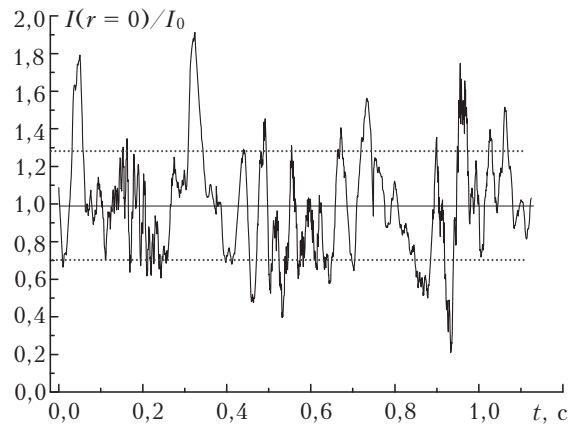


Рис. 2. Флуктуации интенсивности на оси широкого коллимированного пучка в зависимости от времени в условиях сильной турбулентности,  $C_n^2 = 10^{-12} \text{ м}^{-2/3}$ . Линейный режим распространения на трассе  $z = 160$  м.  $I_0$  — начальная интенсивность на оси пучка. Сплошной прямой отмечено среднее значение, пунктирными прямыми — отклонения от среднего с доверительным интервалом в  $1\sigma$

## Параметр нелинейных искажений фокусированного пучка

Степень нелинейных искажений коллимированного пучка ( $R_f \rightarrow \infty$ ) при стационарной ветровой рефракции в регулярной среде на расстоянии  $z$  характеризуется безразмерным параметром, который в условиях малого поглощения ( $\alpha z \ll 1$ ) имеет вид [10]:

$$N_c = \frac{\left| \frac{\partial n}{\partial T} \right| P_0 \alpha z^2}{\pi n_0 \rho c_p v a_0^3}, \quad (4)$$

где  $P_0$  — начальная мощность пучка. Выражение (4) получено в приближении геометрической оптики. При достижении параметром нелинейных искажений значения  $N_c = 4$  дальнейшее увеличение мощности излучения уже не приводит к росту пиковой интенсивности на расстоянии  $z$ .

Обобщение параметра нелинейных искажений  $N$  для случая острой фокусировки (число Френеля  $F = ka_0^2/R_f \gg 1$ ) имеет вид [28]:

$$N = N_c q, \quad q = \frac{2r^2}{r-1} \left( 1 - \frac{\ln r}{r-1} \right), \quad r = a_0 / a(z), \quad (5)$$

где  $a(z)$  — радиус фокусированного пучка на расстоянии  $z$ . В фокальной плоскости  $z = R_f$  отношение радиусов  $r$  совпадает с числом Френеля.

В [28] параметр нелинейных искажений пучка обобщен и на случай фокусировки в турбулентной среде, когда в выражение (5) подставляется эффективное значение числа Френеля  $F^*$ :

$$r = F^* = \frac{F}{\sqrt{1 + (2\sqrt{2}a_0/r_0)^2}}, \quad (6)$$

где  $r_0 = 1,68(k^2 z C_n^2)^{-3/5}$  — радиус когерентности плоской волны, прошедшей слой турбулентной атмосферы  $z$  [29]. В этом случае эмпирически учитывается в среднем рост расходности излучения в случайно-неоднородной среде, который описывается уменьшением числа Френеля и, соответственно, уменьшением остроты фокусировки. Последнее приводит к меньшим нелинейным искажениям пучка. Однако строгий количественный анализ совместного влияния на пучок теплового самовоздействия и турбулентности атмосферы может быть проведен только численно в рамках волновой нелинейной оптики.

## Анализ энергетических характеристик на основе вычислительных экспериментов

В численных экспериментах, выполненных на основе решения уравнений (1)–(2) для фокусированного гауссова пучка (3), были использованы параметры, близкие к планируемым нами в ИПЛИТ РАН натурным экспериментам. Параметры выход-

ного пучка лазерного комплекса с волноводным CO<sub>2</sub>-лазером ТЛ-1000М с широкоапertureным телескопом с увеличением 25x следующие: радиус пучка  $a_0 = 6,25$  см, расстояние фокусировки  $R_f = 160$  м. В расчетах использовались значения коэффициентов поглощения и плотности воздуха, характерные для приземной атмосферы в летнее время года: коэффициент поглощения  $\alpha = 2,9 \cdot 10^{-4} \text{ м}^{-1}$ , плотность  $\rho = 1,204 \text{ Кг}/\text{м}^3$ . Поперечная компонента скорости однородного по трассе ветра составляет  $v = 1 \text{ м}/\text{с}$ . Мощность пучка варьировалась так, что параметр нелинейных искажений в регулярной среде  $N$  (5) изменялся в диапазоне от 1 до 10.

При  $N = 1$  в отсутствии турбулентности пучок в фокальной плоскости в установившемся режиме незначительно смещается навстречу ветру и вытягивается в поперечном направлении (рис. 3, *a*). В случайно-неоднородной среде при  $C_n^2 = 10^{-12} \text{ м}^{-2/3}$  (рис. 3, *b*) турбулентное уширение сопоставимо с тепловым, а при дальнейшем увеличении структурной постоянной превышает его (рис. 3, *c*). При  $C_n^2 = 10^{-11} \text{ м}^{-2/3}$  распределение интенсивности становится более изотропным, при этом сохраняется смещение центра тяжести пучка навстречу ветру.

Для более мощного пучка ( $N = 10$ ) ветровая рефракция ярко выражена, распределение интенсивности приобретает характерную серповидную форму с несколькими побочными максимумами на оси  $x$  вдоль направления ветра и сильной дефокусировкой вдоль оси  $y$  (рис. 3, *e*). Максимум интенсивности в регулярной среде смещается навстречу ветру на 2,8 см. Серповидная форма пучка отчетливо выражена и в турбулентной среде  $C_n^2 = 10^{-12} \text{ м}^{-2/3}$  (рис. 3, *d*), ее очертания сохраняются даже в условиях очень сильной турбулентности с  $C_n^2 = 10^{-11} \text{ м}^{-2/3}$  (рис. 3, *e*).

Нелинейные искажения лазерного пучка сопровождаются резким уменьшением пиковой интенсивности относительно ее величины на фронте импульса, где ветровая рефракция отсутствует (рис. 4). При этом если при значении параметра нелинейности  $N = 1$  падение максимальной интенсивности в установившемся режиме ветровой рефракции по сравнению с фронтом импульса составляет около 35%, то при увеличении мощности в десять раз ( $N = 10$ ) наблюдается более чем двадцатикратное уменьшение интенсивности. Как следствие, максимальная интенсивность в плоскости фокусировки в более мощном пучке оказывается меньше, чем у менее мощного пучка. В среднем это соотношение для максимальных интенсивностей сохраняется и в турбулентной атмосфере.

На рис. 4 видно, что в данной реализации в течение интервала времени 0,3 с (80% полной длительности импульса) значения максимальной интенсивности в турбулентной среде оказываются больше, чем в регулярной, временами превышая регулярное значение при ветровой рефракции в несколько раз. Кроме этого, возможны ситуации, когда максимальная интенсивность в середине трассы на расстоянии  $z = 80$  м превышает интенсивность в фокальной плоскости (интервал 0,27–0,35 с).

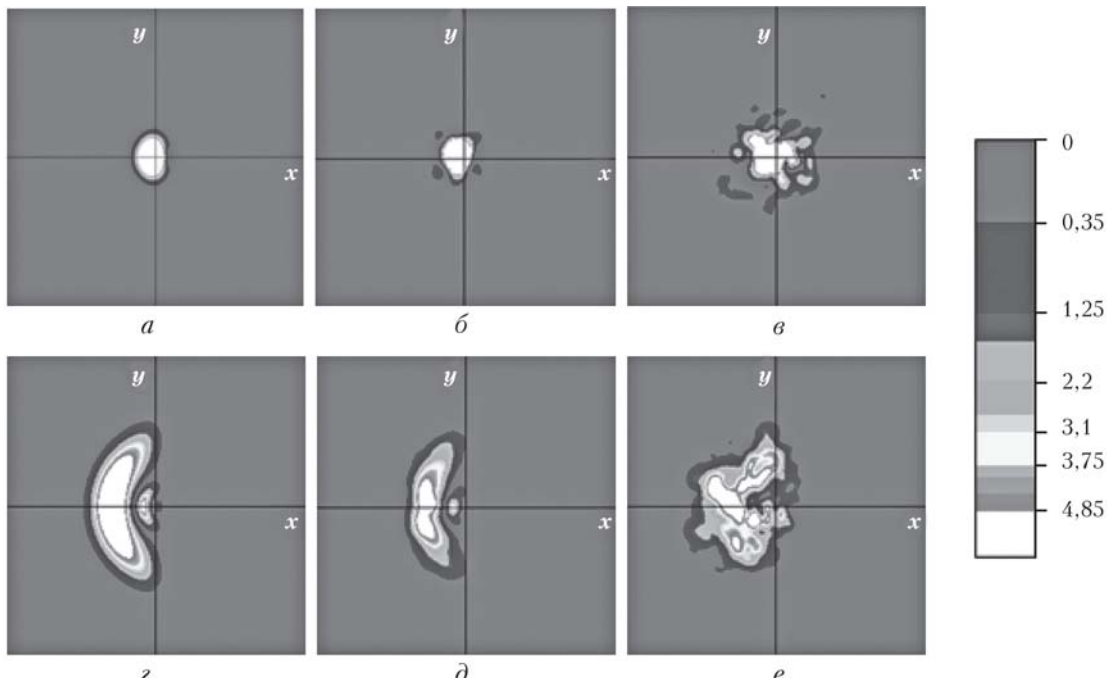


Рис. 3. Распределения интенсивности в поперечнике пучка в фокальной плоскости  $z = 160$  м, полученные в произвольные моменты времени в установившемся режиме распространения. Размер изображенной области  $18,75 \times 18,75$  см, оптическая ось начального пучка находится в центре. Направление ветра — слева направо. Параметр нелинейных искажений  $N = 1$  ( $a-e$ ),  $10$  ( $e-e$ );  $C_n^2 = 0$  ( $a, e$ ),  $10^{-12}$  ( $b, d$ ),  $10^{-11} \text{ м}^{-2/3}$  ( $c, e$ ). Значения интенсивности на вставке справа нормированы на максимальную интенсивность в плоскости  $z = 0$

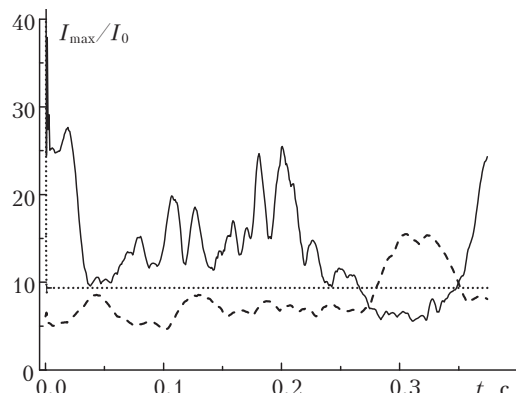


Рис. 4. Изменение максимальной интенсивности со временем в сфокусированном пучке в плоскости фокусировки  $z = 160$  м при  $N = 10$  на трассе с  $C_n^2 = 10^{-11} \text{ м}^{-2/3}$  (сплошная кривая) и в регулярной среде (пунктирная кривая), а также в середине трассы на расстоянии  $z = 80$  м (штриховая кривая). Интенсивность нормирована на начальное значение  $I_0$  в плоскости  $z = 0$

Не менее важным энергетическим параметром, чем максимальная интенсивность в сечении пучка, является мощность в заданной апертуре. Смещение пучка и уменьшение пиковой интенсивности приводят в условиях ветровой рефракции к уменьшению мощности излучения в апертуре конечного размера с центром на оптической оси. Поперечное смещение в плоскости регистрации может быть скорректировано юстировкой фокусирующего зеркала в отсутствие турбулентных флюктуаций или применением

адаптивной системы коррекции углов наклона волнового фронта в случайно-неоднородной среде. Поэтому для количественного анализа влияния ветровой рефракции на энергетические характеристики излучения в плоскости наблюдения мы вычислили величину мощности, содержащейся в круговых апертурах ( пятнах ) радиуса  $a_1$  и  $a_2$  с центром в точке с максимальной интенсивностью излучения. Значение радиуса первой апертуры  $a_1$  выбиралось равным 0,43 см, что совпадало с радиусом фокусированного на мишень гауссова пучка по уровню  $e^{-1}$  интенсивности в линейном случае на рассматриваемом расстоянии  $z = 160$  м. Площадь второй апертуры была в четыре раза больше,  $a_2 = 2a_1 = 0,86$  см. В линейном случае при отсутствии ветровой рефракции такие апертуры, размещенные на оси пучка, содержат 63% и 98% мощности излучения соответственно.

При ветровой рефракции вследствие падения интенсивности излучения и искажения профиля пучка мощность в апертуре ограниченного радиуса существенно снижается. В регулярной среде в пучке с параметром нелинейных искажений  $N = 1$  мощность в апертуре  $a_1$  снижается до 47% полной мощности, в апертуре  $a_2$  — с 98% до 89%. В пучке с  $N = 10$  падение мощности в заданных апертурах особенно существенно. В апертуре радиуса  $a_1$  мощность не превышает 5%, радиуса  $a_2$  — 15% (рис. 5). В результате при увеличении полной мощности излучения в 10 раз мощность в апертуре радиуса  $a_1$  в условиях стационарной ветровой рефракции оказывается даже меньше, чем в пучке меньшей мощности.

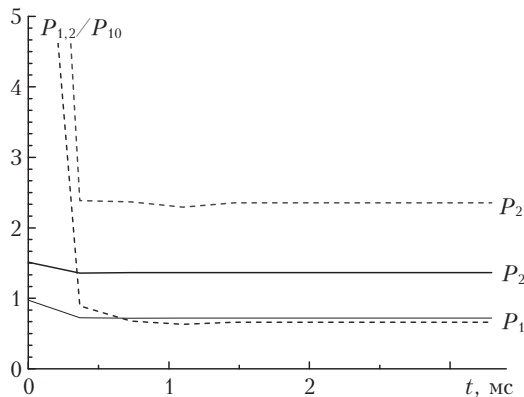


Рис. 5. Мощности  $P_1$  в апертуре радиуса  $a_1 = 0,43$  см и  $P_2$  в апертуре радиуса  $a_2 = 0,86$  см с центрами в точке с максимальной интенсивностью в сечении пучка при распространении на трассе длиной 160 м в регулярной среде.  $N = 1$  (сплошная кривая), 10 (штриховая кривая).  $P_{10}$  – мощность в апертуре  $a_1$  на фронте импульса с  $N = 1$

Аналогичная картина наблюдается и в турбулентной среде, где мгновенные значения мощности флуктуируют в окрестности регулярных значений, как превышая их, так и находясь ниже этих значений (рис. 6).

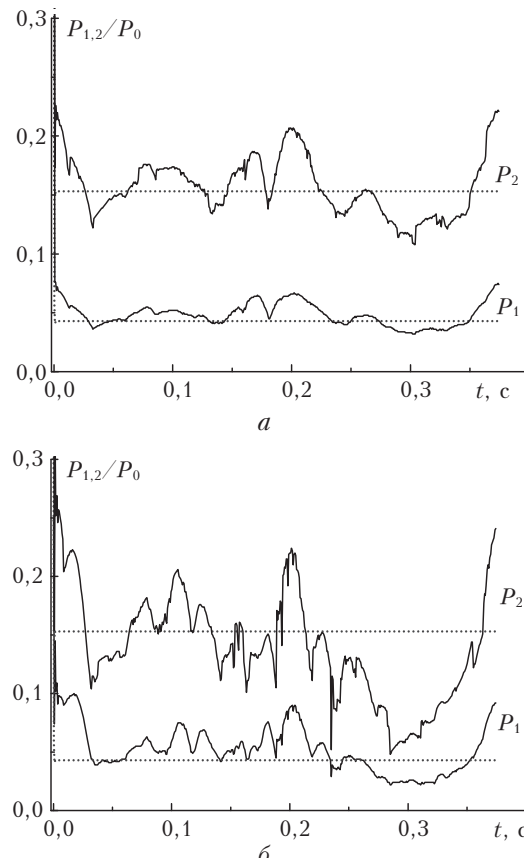


Рис. 6. Изменение во времени мощности  $P_1$  в апертуре радиуса  $a_1 = 0,43$  см и  $P_2$  в апертуре радиуса  $a_2 = 0,86$  см с центрами в точке с максимальной интенсивностью на трассе длиной 160 м в турбулентной атмосфере с  $C_n^2 = 10^{-12} \text{ м}^{-2/3}$  (а) и  $10^{-11} \text{ м}^{-2/3}$  (б),  $N = 10$ . Пунктирными прямыми отмечены значения мощности в регулярной среде

С ростом структурной постоянной  $C_n^2$  возрастает и дисперсия флуктуаций мощности в апертурах конечного размера.

## Заключение

Результаты численного моделирования показали, что для излучения CO<sub>2</sub>-лазера эффекты ветровой рефракции на протяженной трассе в прозрачной турбулентной атмосфере, так же как и в однородной среде, с ростом мощности излучения при изменении параметра нелинейных искажений  $N$  от 1 до 10 приводят к уменьшению максимальной интенсивности и мощности в апертуре конечного размера. Максимальная интенсивность в фокальной плоскости может в течение продолжительного времени оставаться больше, чем ее стационарное значение в регулярной среде. Кроме этого, в условиях сильных флуктуаций показателя преломления наблюдаются интервалы времени, в которые максимальная интенсивность в средней части трассы даже при острой фокусировке пучка (число Френеля  $F = ka_0^2/R_f = 14,5$ ) оказывается больше, чем в фокальной плоскости в конце трассы. Последнее обстоятельство свидетельствует о том, что при ветровой рефракции на атмосферной трассе могут реализовываться такие условия, когда оптимальной является перефокусировка излучения за плоскость наблюдения.

- Гейнц Ю.Э., Грачев Г.Н., Землянов А.А., Кабанов А.М., Павлов А.А., Пономаренко А.Г., Тищенко В.Н. Тепловое самовоздействие мощного непрерывного и импульсно-периодического излучения CO<sub>2</sub>-лазера в воздухе: I. Численное моделирование распространения на атмосферной трассе // Оптика атмосф. и океана. 2013. Т. 26, № 5. С. 363–370; Geints Yu.E., Grachev V.N., Zemlyanov A.A., Kabanov A.M., Pavlov A.A., Ponomarenko A.G., Tishchenko V.N. Thermal Self-Action of High-Power Continuous and Pulse-Periodic CO<sub>2</sub> Laser Radiation in Air: I. Numerical Simulation of Propagation along an Atmospheric Path // Atmos. Ocean. Opt. 2014. V. 27, N 2. P. 107–114.
- Грачев Г.Н., Землянов А.А., Пономаренко А.Г., Тищенко В.Н., Гейнц Ю.Э., Кабанов А.М., Павлов А.А., Павлов Ал.А., Погодаев В.А., Пинаев П.А., Смирнов А.Л., Стасченко П.А. Тепловое самовоздействие мощного непрерывного и импульсно-периодического излучения CO<sub>2</sub>-лазера в воздухе: II. Лабораторные эксперименты // Оптика атмосф. и океана. 2013. Т. 26, № 9. С. 726–733; Grachev V.N., Zemlyanov A.A., Ponomarenko A.G., Tishchenko V.N., Geints Yu.E., Kabanov A.M., Pavlov A.A., Pavlov Al.A., Pogodaev V.A., Pinaev P.A., Smirnov A.L., Statsenko P.A. Thermal Self-Action of High-Power Continuous and Pulse-Periodic CO<sub>2</sub> Laser Radiation in Air: II. Laboratory Experiments // Atmos. Ocean. Opt. 2014. V. 27, N 2. P. 115–122.
- Банах В.А., Фалиц А.В. Численное моделирование распространения лазерных пучков, формируемых многоэлементными апертурами, в турбулентной атмосфере при тепловом самовоздействии // Оптика атмосф. и океана. 2013. Т. 26, № 5. С. 371–380; Banakh V.A., Falits A.V. Numerical Simulation of Propagation of Laser Beams Formed by Multielement

- Apertures in a Turbulent Atmosphere under Thermal Blooming // *Atmos. Ocean. Opt.* 2013. V. 26, N 6. P. 455–465.
4. *Stoneback M., Ishimaru A., Reinhardt C., Kuga Y.* Temperature rise in objects due to optical focused beam through atmospheric turbulence near ground and ocean surface // *Opt. Eng.* 2013. V. 52, N 3. 036001 (8 p.).
  5. *Кандидов В.П.* Обзор нелинейных эффектов при распространении лазерного излучения в атмосфере // Нелинейная оптика и оптоакустика атмосферы. Томск: ИОА СО РАН, 1988. С. 3–12.
  6. *Мощные лазерные пучки в случайно-неоднородной атмосфере* / Под. ред. В.А. Банаха. Новосибирск: Изд-во СО РАН, 1998. 340 с.
  7. *Зуев В.И., Землянов А.А., Копытин Ю.Д.* Современные проблемы атмосферной оптики. Т. 6. Нелинейная оптика атмосферы. Л.: Гидрометеоиздат, 1989. 256 с.
  8. *Распространение лазерного пучка в атмосфере: Проблемы прикладной физики* / Под ред. Д. Стробена. М.: Мир, 1981. 416 с.
  9. *Gebhardt F.G.* Twenty-Five Years of Thermal Blooming: An Overview // *Propagation of High-Energy Laser Beams through the Earth's Atmosphere*. SPIE. 1990. V. 1221. P. 1–25.
  10. *Смит Д.К.* Распространение мощного лазерного излучения. Тепловое искажение пучка // Труды института инженеров по электротехнике и радиоэлектронике. 1977. Т. 65, № 12. С. 59–103.
  11. *Воробьев В.В.* Тепловое самовоздействие лазерного излучения в атмосфере. М.: Наука, 1987. 199 с.
  12. *Алешикевич В.А., Сухоруков А.П.* Об отклонении мощных световых пучков под действием ветра в поглощающих средах // Письма в ЖЭТФ. 1970. Т. 12, вып. 2. С. 112–115.
  13. *Bradley L.C., Herrmann J.* Phase Compensation for Thermal Blooming // *Appl. Opt.* 1974. V. 13, N 2. P. 331–334.
  14. *Ахманов С.А., Воронцов М.А., Кандидов В.П., Сухоруков А.П., Чесноков С.С.* Тепловое самовоздействие световых пучков и методы его компенсации // Изв. вузов. Радиофиз. 1980. Т. 23, № 1. С. 1–37.
  15. *Высоух B.A., Кандидов В.П., Чесноков С.С., Шленов С.А.* Адаптивная фокусировка интенсивных световых пучков, распространяющихся в нерегулярных средах // Изв. вузов. Физ. 1985. Т. 28, № 11. С. 30–41.
  16. *Зуев В.И., Банах В.А., Покасов В.В.* Современные проблемы атмосферной оптики. Т. 5. Оптика турбулентной атмосферы. Л.: Гидрометеоиздат, 1988. 270 с.
  17. *Гуревич А.С., Кон А.И., Миронов В.Л., Хмелевцов С.С.* Лазерное излучение в турбулентной атмосфере. М.: Наука, 1976. 277 с.
  18. *Gebhardt F.G.* High power laser propagation // *Appl. Opt.* 1976. V. 15, N 6. P. 1479–1493.
  19. *Бондаренко А.И., Васильцов В.В., Галушкин М.Г., Голубев В.С., Низьев Г.Г., Панченко В.Я., Забелин А.М., Завалов Ю.Н., Якунин В.П.* Индустиральные CO<sub>2</sub>-лазеры с высоким качеством излучения: сборник трудов ИПЛИТ РАН / Под ред. В.Я. Панченко, В.С. Голубева. М.: Интерконтакт Наука, 2005. С. 251–259.
  20. *Aleksandrov V.O., Budanov V.V., Vasil'tsov V.V., Galushkin M.G., Golubev V.S., Egorov E.N., Zelenov E.V., Panchenko V.Ya., Semenov A.N., Sолов'ev A.V., Chashkin E.V.* New kilowatt waveguide CO<sub>2</sub> process lasers with high radiation quality // *J. Opt. Technol.* 2009. V. 76, iss. 5. P. 255–258.
  21. *Кандидов В.П., Шленов С.А.* Пространственная статистика светового пучка при ветровой рефракции в турбулентной атмосфере // Квант. электрон. 1985. Т. 12, № 5. С. 1490–1496.
  22. *Кандидов В.П.* Метод Монте-Карло в нелинейной статистической оптике // Успехи физ. наук. 1996. Т. 166, № 12. С. 1309–1338.
  23. *Johansson E.M., Gavel D.T.* Simulation of stellar speckle imaging // *Proc. SPIE*. 1994. V. 2200. P. 372–383.
  24. *Шленов С.А., Кандидов В.П.* Формирование пучка филаментов при распространении фемтосекундного лазерного импульса в турбулентной атмосфере. Часть 1. Метод // Оптика атмосф. и океана. 2004. Т. 17, № 8. С. 630–636.
  25. *Andrews L.C., Phillips R.L.* *Laser Beam Propagation through Random Medium.* 2nd ed. Bellingham, WA: SPIE Press, 2005. 808 p.
  26. *Лукин В.П., Канев Ф.Ю., Коняев П.А., Фортес Б.В.* Численная модель адаптивной оптической системы. Часть 1. Распространение лазерных пучков в атмосфере // Оптика атмосф. и океана. 1995. Т. 8, № 3. С. 409–418.
  27. *Dios F., Recolons J., Rodrigues A., Batet O.* Temporal analysis of laser beam propagation in the atmosphere using computer-generated long phase screens // *Opt. Express*. 2008. V. 16, iss. 3. P. 2206–2220.
  28. *Gebhardt F.G.* Atmospheric effects modeling for high-energy laser systems // *Proc. SPIE*. 1995. V. 2502. P. 101–110.
  29. *Воронцов М.А., Шмальгаузен В.И.* Принципы адаптивной оптики. М.: Наука, 1985. 288 с.

*S.A. Shlenov, V.V. Vasil'tsov, V.P. Kandidov. Energy characteristics of laser radiation focused in the turbulent atmosphere under wind dominated thermal blooming.*

Temporal dynamics of maximum intensity and laser power in a finite-size aperture of the focused radiation at a wavelength of 10.6 microns under thermal self-action in a clear turbulent atmosphere is analyzed by means of computer simulation. Propagation of Gaussian beams along up to 160 m path is considered. It is shown that under strong turbulence conditions there are time intervals in which the maximum intensity in the middle of the path of a tightly focused beam is greater than in the focal plane at the end of the path.